

4. Кутателадзе С. С. Основы теории теплообмена. М.: Атомиздат, 1979.
5. Исаченко В. П. Теплообмен при конденсации. М.: Энергия, 1977.
6. Гогонян И. И., Дорохов А. Р., Сосунов В. И. Теплообмен при конденсации на вертикальной трубе.— ИФЖ, 1978, т. 35, № 16.
7. Parmentier E. M. Two phase natural convection adjacent to a vertical heated surface in a permeable medium.— Int. J. Heat Mass Transfer, 1979, v. 22, p. 849.
8. Ping Cheng. Film condensation along an inclined surface in a porous medium.— Int. J. Heat Mass Transfer, 1981, v. 24, p. 983.
9. Brinkman H. C. A calculation of the viscous force exerted by flowing fluid on a dense swarm of particles.— Appl. Sci. Research, 1949, v. A1, N 1.
10. Азров М. Э., Тодес О. М., Наринский Д. А. Аппараты со стационарным зернистым слоем. Л.: Химия, 1979.
11. Риферт В. Г., Барабаш П. А., Голубев А. Б. Интенсивность конденсации водяного пара на горизонтальных профилированных проволокой трубах.— Изв. вузов. Энергетика, 1980, № 7.

Поступила 22/VI 1984 г.

УДК 532.529

О ВЛИЯНИИ ВЗАИМОДЕЙСТВИЯ КАПЕЛЬ БЛИЗКИХ РАЗМЕРОВ НА СКОРОСТЬ РОСТА И ЗАПАЗДЫВАНИЕ ЧАСТИЦ КОНДЕНСАТА В ПОЛИДИСПЕРСНЫХ ДВУХФАЗНЫХ ПОТОКАХ

В. А. Архипов, В. Г. Бутов, И. М. Васенин, Ф. Г. Гапонич,
А. М. Подвысоцкий, В. Ф. Трофимов, А. А. Шрайбер

(Томск, Киев)

Получена новая обобщенная зависимость для параметра Φ коагуляции и дробления капель при столкновениях, отличающаяся детальным учетом взаимодействия частиц близких размеров. Проведены численные исследования особенностей одномерного полидисперсного течения в соплах Лавала. Показано, что использование новой зависимости для Φ позволяет более точно определить параметры течения.

Исследованию закономерностей течения полидисперсных двухфазных смесей посвящено значительное количество работ (см. обзор в [1]). В последнее время разработан ряд математических моделей такого течения, в которых учитываются процессы коагуляции и дробления частиц при столкновениях, полидисперсный состав вторичных частиц-осколков и т. д. Для практического использования этих моделей необходима дополнительная экспериментальная информация о переносе массы и импульса при взаимодействии капель. В [2] получена формула

$$(1) \quad \Phi_{ji} = 1 - 0,247 \operatorname{Re}_{ji}^{0,434} Lp_i^{-0,133} \Delta_{ji}^{-0,273}$$

для области $35 < \operatorname{Re}_{ji} < 385$; $5 < Lp_i < 600$; $2 < \Delta_{ji} < 12$. Здесь $\operatorname{Re}_{ji} = |\mathbf{u}_j - \mathbf{u}_i| \delta_j \rho / \eta$ — число Рейнольдса; $Lp_i = \delta_i \sigma \rho / \eta^2$ — число Лапласа; $\Delta_{ji} = \delta_i / \delta_j$ ($\delta_j < \delta_i$); δ , \mathbf{u} — диаметр и скорость частиц; ρ , η , σ — плотность, динамическая вязкость и коэффициент поверхностного натяжения жидкости; Φ_{ji} — среднестатистическое отношение изменения массы частицы i за некоторое время к общей массе столкнувшихся с ней частиц j .

Недостатком формулы (1) является то, что она непригодна для описания взаимодействия частиц близких размеров ($\Delta_{ji} < 2$). Следует отметить, что в реальных условиях частицы близких размеров, как правило, движутся с мало различающимися скоростями, однако в ряде случаев частота столкновений этого типа (а следовательно, и вклад их в общую скорость роста крупных частиц) может быть значительной. В соответствии с [1] скорость изменения размера частиц i в квазиодномерном приближении равна

$$(2) \quad \frac{d\delta_i}{dx} = \frac{u_r \rho r}{2 \rho u_i \delta_i^2} \sum_{j=1}^{i-1} \frac{E_{ji} \Phi_{ji} (\delta_i + \delta_j)^2 \mu_j |u_j - u_i|}{u_j}$$

где x — продольная координата; μ — массовая расходная концентрация; E — коэффициент осаждения; величины с индексом g относятся к газу; фракции нумеруются в порядке возрастания размера частиц. Из (2) видно, что при фиксированном i с ростом δ_j увеличивается сечение столкновения. Кроме того, относительный вклад различных слагаемых суммы в правой части (2) пропорционален концентрации фракций i . Существенное значение может иметь и то обстоятельство, что, как установлено в последнее время [1, 3], во многих случаях частицы нескольких крупных фракций при движении в потоке приобретают весьма близкие размеры независимо от их величины на входе.

В [4] приводятся опытные данные по массопереносу при столкновениях капель близких размеров ($\Delta_{ji} = 1, 1 \dots 3$). Оказалось, что при малых Δ_{ji} наблюдается интенсивное дробление капель, причем формула (1) в этой области завышает значения Φ_{ji} . Совместная обработка опытных данных [2, 4] позволила получить новую обобщающую формулу

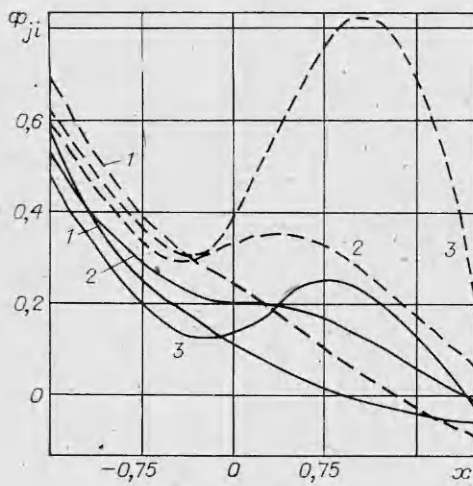
$$(3) \quad \Phi_{ji} = 0,893 - 1,979A_{ji} + 1,014A_{ji}^2, \\ A_{ji} = (\text{Re}_{ji}/383,6)^{0,572}(\text{Lp}_{ji}/370,4)^{-0,153}(\Delta_{ji}/2,73)^{-0,597}.$$

Отметим, что область применимости формулы (3) ограничена условием $A_{ji} \leq 1$.

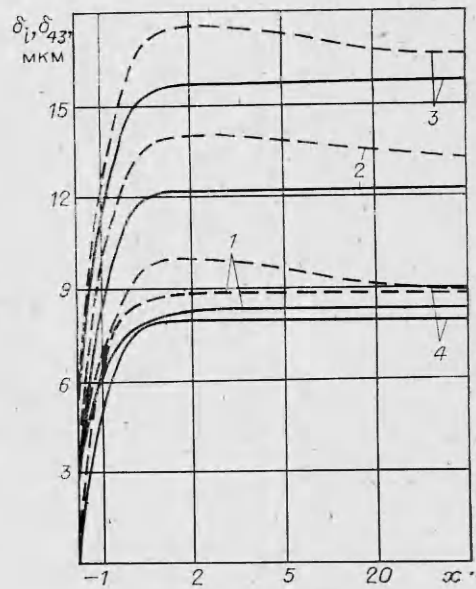
В связи с изложенным представляет интерес исследование особенностей высокоскоростного течения полидисперсной двухфазной смеси с более точным (по сравнению с [1, 2]) учетом переноса массы при взаимодействии частиц близких размеров. Ниже этот вопрос рассматривается на примере квазиодномерного течения в соплах Лавала. Расчеты проводились по методике [2]. Предполагалось, что осколки имеют полидисперсный состав и начальную скорость в соответствии с опытными данными [1]. Параметры динамического и теплового взаимодействия газа с частицами определялись по рекомендациям [1] с учетом увеличения коэффициента аэродинамического сопротивления за счет деформации капель газовым потоком. Для более четкого выделения роли изучаемого явления дробление крупных частиц аэродинамическими силами не учитывалось. Расчеты проводились применительно к типичному соплу Лавала [1] в широком диапазоне значений μ , p_0 , r^* , r_a/r^* (p — давление, r — радиус сечения сопла, величины с индексом 0, *, a относятся к входному, минимальному и выходному сечениям). Учитывалось 10 фракций полидисперсного конденсата; средний размер частиц на входе составлял $\delta_{43}^0 = 1 \dots 3$ мкм. Каждый вариант рассчитывался с использованием формул (3) и (1) (сплошные и штриховые линии на фиг. 1—5). Базовый вариант расчета соответствовал $r^* = 0,03$ м, $p_0 = 15$ МПа, $\mu = 7$ ($z = \mu/(1 + \mu) = 0,875$), $\delta_{43}^0 = 1,6$ мкм, $r_a/r^* = 17$; начальные размеры частиц фракций δ_{i0} (мкм): 0,8; 1,2; 1,6; 1,8; 2,0; 2,4; 2,8; 3,2; 4,4; 6,0. Некоторые результаты для базового варианта представлены на фиг. 1, 2.

На фиг. 1 показаны значения параметра коагуляции и дробления частиц в области интенсивного взаимодействия (линии 1—3 отвечают $j = 6; 6; 8$, $i = 8; 10; 10$, здесь и ниже значения x отнесены к r^*). Как и следовало ожидать, почти всегда штриховые линии располагаются выше соответствующих сплошных. Следует иметь в виду, что на фиг. 1 приведены значения Φ_{ji} , рассчитанные по формулам (1) и (3) для различных δ_i , δ_j , u_i , u_j и т. д. (см. также фиг. 2). Этим объясняется пересечение кривых 1 при $x > 1,5$. Максимумы на кривых 2 и 3 в области $x \sim 0 \dots 1$ связаны с тем, что наиболее крупные частицы ($i = 10$) претерпевают существенную деформацию аэродинамическими силами; это приводит к увеличению силы межфазового взаимодействия и скорости этих частиц, так что значения $|u_j - u_i|$ и Re_{ji} существенно уменьшаются.

Фиг. 2 иллюстрирует изменение размеров частиц фракций по длине потока (кривые 1—3 соответствуют $\delta_{i0} = 3,2; 4,4; 6,0$ мкм, 4 — средне-массовому размеру частиц δ_{43}). Из этих данных видно, что использование более точной формулы (3) приводит к не столь быстрому росту крупных



Ф и г. 1

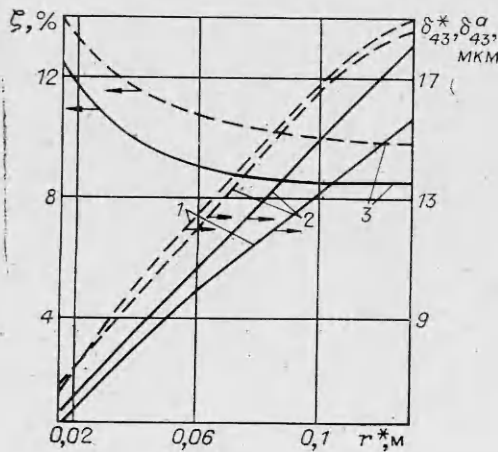


Ф и г. 2

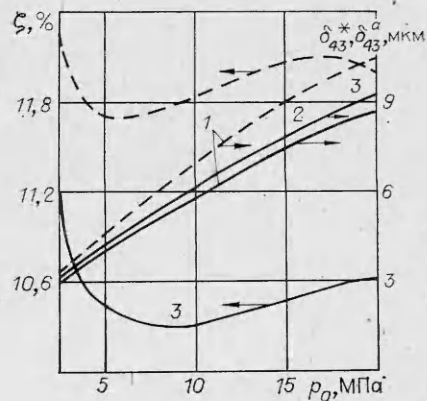
частиц. В то же время на размер частиц мелких и средних фракций выбор формулы для Φ практического влияния не оказывает. При переходе от формулы (1) к формуле (3) заметно меняется фракционный состав конденсата (особенно в сверхзвуковой части): концентрация тонких фракций увеличивается, а крупных — существенно уменьшается. В связи с этим различие между значениями среднего размера частиц, соответствующими формулам (1) и (3) (кривые 4), больше, чем различие между диаметрами частиц отдельных фракций.

Расчеты показали, что при использовании формулы (3) несколько уменьшается динамическое запаздывание всех фракций конденсата. Это связано как с уменьшением размера крупных частиц (см. фиг. 2), так и с более заметным влиянием дискретной фазы на газ, которое приводит к снижению продольных градиентов газодинамических параметров.

На фиг. 3 приведена зависимость среднего размера частиц в минимальном 1 и выходном 2 сечениях, а также потерь пустотного удельного импульса из-за запаздывания частиц 3 от масштаба сопла. С ростом r^* при прочих равных условиях увеличивается время пребывания частиц в потоке, что приводит к росту δ_{43} . Однако потери удельного импульса при этом снижаются — более важным фактором оказывается уменьшение темпа нарастания скорости газа [1, 3]. Отметим также, что при использо-



Ф и г. 3



Ф и г. 4

вании формулы (3) в сверхзвуковой части продолжается рост частиц, в то время как формула (1) дает здесь некоторое уменьшение δ_{43} (ср. фиг. 2).

На фиг. 4 показана зависимость δ_{43} и ζ от начального давления (обозначения те же, что и на фиг. 3). С ростом p_0 увеличиваются значения объемной концентрации частиц и, следовательно, частоты столкновений; в связи с этим величина δ_{43} монотонно возрастает. Более сложен характер зависимости $\zeta(p_0)$ с одним (сплошная линия) или двумя (штриховая) экстремумами. Это объясняется влиянием трех факторов: 1) рост размера частиц (с увеличением p_0); 2) увеличение силы аэродинамического сопротивления и вследствие этого уменьшение динамического запаздывания; 3) более существенное влияние частиц на газ, вследствие чего он разгоняется меньше. На нисходящей ветви кривых 3 определяющими оказываются второй и третий факторы, на восходящей — первый.

С ростом общей концентрации конденсата интенсивность взаимодействия фракций увеличивается, что приводит к большим различиям между результатами расчета с использованием формул (1) и (3). Так, если при $\mu = 1$ разность значений потерь удельного импульса $\Delta\zeta \sim 0,5\%$, то при $\mu = 5 \dots 7$ $\Delta\zeta \sim 3\%$.

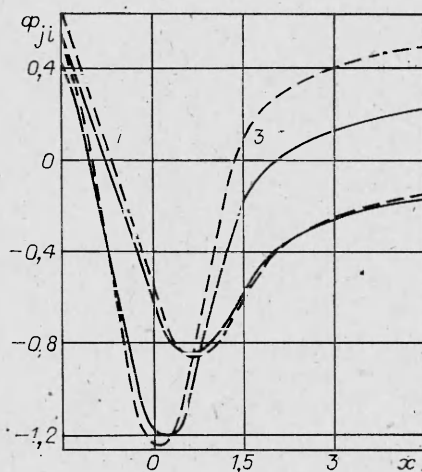
Все описанные выше расчеты проведены без учета влияния газового потока на дробление частиц при столкновениях. В соответствии с [1] этот фактор приводит к уменьшению значений Φ_{ji} (по сравнению со случаем взаимодействия частиц в покоящейся газовой среде) на величину

$$(4) \quad \Delta\Phi_{ji} = 0,18 We_i^{0,67} Re_{ji}^{0,4} Lp_i^{0,12} \Delta_{ji}^{-2,27}$$

($We_i = \rho_g \delta_i (u_r - u_i)^2 / \sigma$ — число Вебера). На фиг. 5 показаны значения параметра Φ_{ji} для базового варианта, рассчитанные с учетом поправки (4) (обозначения те же, что и на фиг. 1). Из этих данных видно, что различие между значениями «эффективности соударений», соответствующими формулам (1) и (3), в данном случае существенно меньше. На значительных по протяженности участках штриховые кривые ниже сплошных. В соответствии с этим меньше оказывается и различие между интегральными параметрами течения. В таблице приведены в качестве примера некоторые данные для трех вариантов расчета (в числителе значения ζ , %, в знаменателе δ_{43} , мкм).

μ	3	7	10
Расчет по формулам (3), (4)	4,3/2,5	6,3/3,8	7,3/4,8
Расчет по формулам (1), (4)	4,8/2,8	7,0/4,2	8,1/5,3

Таким образом, при учете влияния газового потока снижение величины потерь удельного импульса за счет уточнения Φ_{ji} составляет примерно 10% от ζ .



Фиг. 5

ЛИТЕРАТУРА

1. Двухфазные моно- и полидисперсные течения газа с частицами/Л. Е. Стернин, Б. Н. Маслов, А. А. Шрайбер, А. М. Подвысоцкий. М.: Машиностроение, 1980.
2. Подвысоцкий А. М., Шрайбер А. А. Расчет неравновесного двухфазного течения с коагуляцией и дроблением частиц конденсата при произвольном распределении вторичных капель по массам и скоростям.—Изв. АН СССР. МЖГ, 1975, № 2.
3. Шрайбер А. А., Подвысоцкий А. М., Маслов Б. Н. Влияние газового потока на закономерности дробления капель в соплах Лавалья.—Пром. теплотехника, 1982, т. 4, № 4.
4. Архипов В. А., Бушланов В. П. и др. Равновесные формы и устойчивость вращающихся капель.—Изв. АН СССР. МЖГ, 1982, № 4.

Поступила 24/VII 1984 г.

УДК 532.529 : 533.6.011

ИССЛЕДОВАНИЕ ИНЕРЦИОННОГО ОСАЖДЕНИЯ ПОЛИДИСПЕРСНЫХ ЧАСТИЦ В КРИТИЧЕСКОЙ ТОЧКЕ СФЕРЫ

Ю. М. Циркунов

(Ленинград)

Обтекание тел несжимаемым газом с частицами при больших числах Рейнольдса рассматривается во многих работах, например в [1—6], где при расчете характеристик инерционного осаждения примеси частицы считаются монодисперсными. В то же время в реальных газовзвесах размеры частиц всегда различны. Полидисперсность частиц даже в случае пренебрежения их взаимодействием друг с другом существенно усложняет картину движения примеси около тела. Частицы различных размеров отклоняются потоком газа неодинаково. В результате происходит перераспределение фракций в пространстве и первоначальная функция распределения средней плотности дисперсной фазы по размерам частиц изменяется. Составление и решение «кинетического» уравнения, описывающего эволюцию функции распределения, в этом случае затруднительно. В данной работе предлагается метод расчета плотности потока осаждающихся полидисперсных частиц в передней критической точке и функции распределения плотности потока по фракциям. При этом, как и в [1—6], концентрация частиц предполагается малой и их влияние на течение газа и взаимодействие друг с другом не учитывается.

В случае пренебрежимо малой концентрации примеси задача об обтекании тела газовзвесью сводится, как известно, к последовательности двух более простых задач: построению поля течения несущей среды около тела и расчету траекторий частиц в этом поле. Если число Рейнольдса велико, вязкость газа в задаче обтекания тела обычно не учитывается. Однако оценки [1, 3, 4] и прямой расчет [7] показывают, что существует достаточно широкий диапазон параметров потока газовзвеси, где вязкий пограничный слой на поверхности тела существенно влияет на движение примеси, и, следовательно, пренебрегать им при определении характеристик инерционного осаждения частиц в общем случае нельзя. В данной работе поле течения газа около сферы задается так же, как и в [7], на основе модели, включающей в себя внешнее потенциальное течение и вязкий пограничный слой. В [8] показано, что использование такой модели при расчете плотности потока падающих частиц отдельных фракций в критической точке дает достаточно высокую точность, если $Re \geq 10^5$.

В рассматриваемой задаче доминирующей силой, действующей на дисперсную частицу со стороны несущего газа, является сила аэродинамического сопротивления [1, 4, 7]. Для коэффициента аэродинамического сопротивления частицы часто используется закон Стокса [1—4] или «стандартная кривая» [5—7], которая получается при обтекании частицы безграничным равномерным потоком газа. В то же время известно [9], что при медленном движении частицы в вязкой среде вблизи твердой поверхности коэффициент ее аэродинамического сопротивления может в несколько раз превышать значение, полученное по формуле Стокса. В связи с этим в данной работе дается оценка влияния «эффекта стенки» на траектории частиц вблизи критической точки.

Приведенные численные результаты относятся к логарифмически-нормальному закону распределения средней плотности частиц по размерам фракций в невозмущенном течении. Исследованы характеристики инерционного осаждения дисперсной фазы в зависимости от числа Рейнольдса и параметров r_m и ε , входящих в логарифмически-нормальный закон.

1. Пусть на сферу радиуса a набегаает однородный поток газовзвеси со скоростью V_∞ . Несущий газ считается вязким и несжимаемым, а частицы — сферическими. Рассматривается окрестность оси симметрии перед сферой, где течение ламинарное. Предполагается, что влияние частиц на